На правах рукописи

Абрамов Александр Александрович

Регио- и хемоселективное удаление ацетильных групп углеводов в кислых условиях

АВТОРЕФЕРАТ

диссертации на соискание ученой степени кандидата химических наук

1.4.3 – Органическая химия

Работа выполнена на базе Исследовательской школы химических и биомедицинских технологий федерального государственного автономного образовательного учреждения высшего образования «Национальный исследовательский Томский политехнический университет»

Научный руководитель: Степанова Елена Владимировна

кандидат химических наук, доцент, заведующая лабораторией «Химическая инженерия и молекулярный дизайн», ИШХБМТ ФГАОУ ВО «Национальный исследовательский Томский политехнический университет»

Официальные оппоненты: Ларионов Владимир Анатольевич

доктор химических ведущий научный наук, сотрудник, заведующий лабораторией биоактивных «Стереонаправленный синтез ФГБУН соединений», Институт элементоорганических соединений A.H. им. Несмеянова РАН, г. Москва

Патрушева Оксана Станиславовна

кандидат химических наук, научный сотрудник лаборатории физиологически активных веществ, ФГБУН Новосибирский институт органической химии им. Н. Ворожцова СО РАН, г. Новосибирск

Ведущая организация:

Федеральное государственное бюджетное учреждение науки Федеральный исследовательский центр «Иркутский институт химии им. А.Е. Фаворского Сибирского отделения Российской академии наук», г. Иркутск

themp

Защита состоится «16» января 2026 г. в 09:30 на заседании диссертационного совета 24.1.192.02, созданного на базе НИОХ СО РАН по адресу: Российская Федерация, 630090, г. Новосибирск, проспект акад. Лаврентьева, д. 9.

С диссертацией можно ознакомиться в библиотеке НИОХ СО РАН и на сайте по адресу: http://web.nioch.nsc.ru/. Текст автореферата размещен на сайте Высшей аттестационной комиссии при Министерстве образования и науки Российского Федерации по адресу: https://vak.minobrnauki.gov.ru/main.

Отзывы на автореферат в 2-х экземплярах, заверенные печатью, просим отправлять по адресу: Российская Федерация, 630090, г. Новосибирск, проспект Академика Лаврентьева, д. 9, Новосибирский институт органической химии, ученому секретарю диссертационного совета 24.1.192.02; e-mail: dissovet@nioch.nsc.ru.

Автореферат разослан «19» ноября 2025 г.

Ученый секретарь диссертационного совета, кандидат химических наук

Патрушев С.С.

Введение

Актуальность исследования. Разработка новых методов синтеза биологически значимых молекул является одной из основных задач современной органической химии. Важным инструментом в управлении реакционной способностью органических соединений являются защитные группы, которые можно селективно ввести и удалить. Особенно важно это для химии углеводов, где защитные группы играют ключевую роль в обеспечении селективности реакций и контроля образования гликозидных связей. Ацильные защитные группы – одни из самых распространённых защитных групп в углеводной химии: их легко ввести в молекулу и легко удалить при помощи простой реакции сольволиза сложных эфиров, при этом они стабильны в большинстве химических превращений, что особенно важно, в реакциях гликозилирования. В природе частично ацилированые соединения представлены в виде низкомолекулярных гликозидов и полисахаридов и распространены во многих живых организмах. Такие природные соединения особый интерес, поскольку они обладают специфичной биологической активностю и выполняют важные функции в растениях и микроорганизмах. Кроме этого, частично ацилированые гликозиды находят широкое применение в олигосахаридной химии в качестве удобных строительных блоков для направленного синтеза сложных углеводных структур.

Несмотря на широкое распространение частично ацилированых соединений, их синтез является сложной задачей ввиду схожей реакционной способности гидроксильных Существующие групп В углеводах. синтетические методы представлены двумя основными стратегиями: селективное введение ацильных групп и их селективное удаление. Методы требуют селективного введения ацильных групп использования специфических условий реакций, труднодоступных либо токсичных реагентов (например, алкилолова, солей тяжелых металлов, стерически нагруженных тиомочевин), при этом может возникать проблема функционализации других гидроксильных групп. При прямом ацилировании незащищенных сахаров достаточно легко получить только 6-0-ацилированые гликозиды, благодаря высокой реакционной способности первичной гидроксильной группы. Для ацилирования других гидроксильных групп использование ортогональных защитных групп и многостадийный синтез. Для селективного удаления ацетильных групп существует всего несколько методов, имеющих существенные недостатки: длительное время реакции, сложность аппаратурного оформления и масштабирования, существенное ограничение возможных субстратов.

В настоящей работе мы предлагаем метод селективного удаления ацетильных групп в углеводах, не требующий использования защитных групп, специфических реагентов, сложного аппаратурного оформления, хорошо масштабируемый и подходящий для широкого круга углеводных субстратов.

Целью работы является разработка систематического подхода к рациональному и прогнозируемому синтетическому методу дезацетилирования углеводов в условиях кислотного катализа для разработки удобных и эффективных методов синтеза частично ацилированных углеводородов.

Задачи

- 1. Исследование региоселективности реакции кислотно-катализируемого дезацетилирования перацетилированных углеводов и разработка методов получения моноацетилированных углеводов.
- 2. Исследование хемоселективности реакции кислотно-катализируемого дезацетилирования углеводов, содержащих одновременно ацетильные и бензоильные сложноэфирные группы и разработка методов селективного удаления ацетильных и других ацильных групп в присутствии бензоильных.

Научная новизна

- 1. Разработан новый метод хемоселективного кислотнокатализируемого удаления ацетильных групп в присутствии бензоильных и впервые показано, что наибольшую реакционную способность имеют 6-О-(для моноацетилированных) и 4,6-ди-О- (для диацетилированных) ацетильные группы, обеспечивая максимальные скорости и выходы реакции.
- 2. Установлено влияние конфигурации углеводов и размера цикла на региоселективность реакции дезацетилирования перацетилированных арилгликозидов: так, для пиранозидов в β -1,2-*транс* конфигурации установлена пониженная реакционная способность 2-O-ацетильной группы, в то время как α -1,2- μ c конфигурация способствует к увеличенной стабильности 3-O- или 4-O-ацетильных групп.
- 3. Впервые показана более высокая реакционная способность хлороацетильных и пивалоильных групп по сравнению с бензоильными в кислотно-катализируемой реакции этанолиза, что открывает новые пути к рациональному синтезу частично ацилированных гликозидов.

Теоретическая и практическая значимость диссертационной работы

В диссертационной работе предложены новые фундаментальнозначимые и практически применимые методы селективного этанолиза
ацетильных групп углеводов. Были установлены закономерности влияния
конфигурационных особенностей углеводов, расположения гидроксильных
групп относительно плоскости кольца, а также взаимного расположения
ацильных групп в молекуле сахара на результат реакции.

Нами был предложен удобный и простой метод селективного кислотнокатализируемого удаления ацетильных групп в присутствии бензоильных при помощи реагента 37% водн. HCl/CHCl₃/EtOH, позволяющий с высокими выходами получать частично бензоилированные гликозиды, включающие углеводы с различной конфигурацией, содержащих различные, в том числе лабильные, агликоны. Разработанная процедура отличается легкостью масштабирования и возможностью использования для получения удобных строительных блоков в синтезе сложных олигосахаридов.

Разработан новый метод региоселективного удаления ацетильных групп из перацетилированных гликозидов, позволяющий в одну стадию получить синтетически ценные моноацетилированные гликозиды: 2-О-ацетил-β-D-2-О-ацетил-β-D-галактопиранозид, 2-*O*-ацетил-β-Dглюкопиранозид, ксилопиранозид, 4-О-ацетил-α-D-арабинопиранозид, 3-О-апетил-α-Dглюкопиранозид, 2-О-ацетил-α-D-арабинофуранозид с 4-метоксифенильными агликонами, ранее получаемые в 7 и более стадий. Для региоселективного дезацетилирования перацетатов мы показали возможность регенерирования побочных продуктов и повторного их использования в этой реакции, что приводит к значительному увеличению выхода и минимальным потерям В предложенном нами методе используются легкодоступные реагенты, не требуется создание инертной среды, работы при повышенном давлении или дополнительных реакционных сосудов.

Положения, выносимые на защиту

- 1. Метод региоселективного удаления ацетильных групп перацетилированных гликозидов и основные факторы, влияющие на региоселективность процесса, а также практические аспекты применения метода.
- 2. Новый метод хемоселективного удаления ацетильных групп в углеводах в присутствии бензоильных и его масштабируемость.
- 3. Метод удаления хлороацетильных, пивалоильных и силильных защитных групп в мягких условиях в присутствии кислоты.

Методология и методы исследования

Экспериментальная часть работы выполнена в соответствии с принципами органического синтеза. Методики химических реакций воспроизводимы. Продукты реакции были выделены при помощи экстракции или фильтрации, очищались при помощи перекристаллизации и/или колоночной хроматографии на силикагеле (флэш-хроматографии). Структура и чистота полученных соединений подтверждалась при помощи методов ЯМР спектроскопии на основании ¹H, ¹³C, ¹H-¹H COSY, ¹H-¹³C HSQC, ¹H-¹³C HMBC спектров, хроматографии, масс-спектрометрии высокого разрешения и поляриметрии.

Степень достоверности

Для выполнения экспериментов использовались только сертифицированные исходные соединения с подтвержденной структурой. Для ранее неизвестных соединений, полученных в ходе экспериментальной работы, структура устанавливалась на основании физико-химических методов анализа, в первую очередь, ЯМР и 2DЯМР. Для известных соединений физико-химические характеристики совпадают с литературными.

Апробация работы

Отдельные части работы докладывались и обсуждались на Всероссийских и Международных конференциях, по результатам которых сделано 2 доклада («31st International Carbohydrate Symposium» (ICS2024), Шанхай, Китай 2024, «6 Фундаментальная гликобиология», Мурманск, 2023) и опубликовано 3 тезиса в сборниках материалов конференций. По теме работы опубликовано 2 статьи в международных рецензируемых изданиях (*The Journal of Organic Chemistry, Carbohydrate Research*).

Работа была поддержана грантами: Грант Министерства Науки и Высшего образования Российской Федерации № No. 075-03-2024-118/1 (создание молодежных лабораторий), «Химическая инженерия молекулярный дизайн» 2021 2026; грант РΗФ No 21-73-10211 «Фотохимическая модификация полигидроксилсодержащих соединений путем селективной активации С-Н и С-О связей» 2021 – 2024.

Личный вклад

Представленные в работе результаты получены при непосредственном участии автора. Автор осуществил литературный анализ в соответствующей области исследования, внес вклад в определение направления работы, постановку исследовательских задач и подготовку научных публикаций по теме исследования. Автор самостоятельно провел химические эксперименты, включая планирование и выполнение реакций, выделение и очистку продуктов, произвел идентификацию структур и чистоты продуктов при помощи анализа спектральных данных.

Объем и структура работы

Работа изложена на 131 страницах, содержит 9 рисунок, 57 схем и 1 таблицу. Диссертация состоит из введения, трех глав, выводов, списка сокращений и условных обозначений и списка литературы из 245 наименований

Основное содержание работы

Первая глава диссертации (литературный обзор) посвящена нахождению в природе частично ацилированых углеводов, их функциям, а также различным методам синтеза. Вторая глава (основной раздел) последовательно описывает результаты собственных исследований автора. Третья глава описывает экспериментальные методы, которые были использованы для реализации исследования. Завершается рукопись выводами, списком сокращений и условных обозначений и списком литературных источников.

ГЛАВА 2. Исследование препаративных возможностей реакции селективного дезацетилирования углеводов в кислых условиях

2.1 Разработка метода селективного дезацетилирования перацетилированных углеводов

2.1.1 Синтез исходных арилгликозидов для реакции селективного дезацетилирования

В работе в качестве изучаемых соединений нами были выбраны гликозиды 4-метоксифенола. Выбор такого агликона был обусловлен следующими факторами:

- 1) 4-Метоксифенильный агликон является удаляемым в окислительных условиях, поэтому 2-*O*-ацетилированые соединения, получаемые в результате реакции селективного этанолиза, могут быть использованы как строительные блоки для последующих синтезов олигосахаридов.
- 2) Ранее нашей группой уже была показана повышенная стабильность 2-О-ацетильной группы в арилгликозидах (включая глюкозиды фенола, крезолов, нитрофенола, ароматических сложных эфиров), следовательно, предпочтительно использовать ароматический агликон.
- 3) 4-Метоксифенильный агликон в составе гликозидов обуславливает поглощение молекулы в УФ-диапазоне с максимумом при 250-270 нм, что значительно упрощает контроль за ходом реакции и анализ продуктов на всех стадиях исследования.

Для получения 4-метоксифенильных гликозидов мы использовали наиболее доступные перацетилированные гликозильные доноры. Поскольку полностью ацетилированных сахаров различными конфигурациями нет одного универсального применяли метода, МЫ различные основно- и кислотно-катализируемые методы ацетилирования с использованием уксусного ангидрида в качестве ацилирующего агента (Схема 1). Так нами были получены гликозильные доноры 2.1b-2.1k с хорошими выходами (50 - 80%).

Схема 1 – Общая схема получения гликозильных доноров **2.1b-2.1k**

Полученные гликозильные доноры мы использовали для гликозилирования 4-метоксифенола. Гликозильные доноры **2.1a-2.1c** и **2.1l** в присутствии BF₃.Et₂O и Et₃N в дихлорметане дали соответствующие 1,2-*мранс* (β) гликозиды **2.2a-2.2c** и **2.2l** с выходами 50% - 88% (Схема 2). Из гликозильного донора **2.1a**. также был получен 1,2-*цис* глюкозид **α-2.2a** при исключении Et₃N, повышении температуры, и увеличении времени реакции.

Методы гликозилирования: *Метод A*: исходный перацетат **2.1** (1 экв.), 4-метоксифенол (2 экв.), $E_{13}N$ (0,5 экв.), $E_{12}O$ (1,5 экв.), $E_{12}O$ (2 экв.), $E_{13}N$ (0,5 экв.), 4-метоксифенол (2 экв.), $E_{13}N$ (0,1 экв.), $E_{13}N$ (1 экв.), 4-метоксифенол (2 экв.), $E_{13}N$ (0,1 экв.), $E_{13}N$ (2 экв.), $E_{13}N$ (3 экв.), E_{13

^а Реакция проводилась при 70 °C (при кипячении CHCl₃); ^б Реакция проводилась 4,5 ч; ^с Реакция проводилась 3,0 ч.

Схема 2 — Синтез гликозидов 4-метоксифенола **2.2** из перацетилированных гликозильных доноров **2.1**

Аналогично, при гликозилировании 4-метоксифенола тетрацетатом β -D-арабинопиранозы **2.1d** продукты различались в зависимости от времени реакции. Так, β -D-арабинопиранозид β -**2.2d** был получен в течение 3 ч с умеренным выходом (33%), в то время как увеличение времени реакции до 4,5

ч приводило к образованию α-D-арабинопиранозида α-2.2d с выходом 62%. Гликозилирование 4-метоксифенола при помощи перацетилированных гликозильных доноров с «манно-конфигурацией» (углеводы с 2-О аксиальной гидроксильной группой) 2.1e-2.1g в присутствии ТfOH в дихлорметане приводило к образованию исключительно 1,2-мранс (α) гликозидов 2.2e-2.2g с хорошими выходами (62-70%). Гликозилирование 4-метоксифенола при помощи полностью ацетилированных фураноз 1h-1k было проведено также с участием ТfOH в дихлорметане с получением соответствующих фуранозидов 2.2h-2.2k с выходами 40-67% (Схема 2). Среди синтезированных гликозидов соединения 2.2g, 2.2j и 2.2k были получены впервые.

2.1.2 Исследование реакции кислотного дезацетилирования перацетилированных арилгликозидов

Реакцию кислотно-катализируемого дезацетилирования проводили в смеси растворителей EtOH и CHCl₃ в объемном соотношении 1:3 с добавлением 37% водной HCl (1 мл на 1 ммоль исходного соединения, концентрация HCl в реакционной массе составила ~2 моль/л) и перемешивали реакционную массу при 30 °C (Схема 3) до максимальной концентрации моноацетилированного продукта (контроль TCX, ВЭЖХ).

Схема 3 – Реакция дезацетилирования перацетатов гликозидов

При дезацетилировании исходных β -D-глюкопиранозида β -2.2a и β -D-галактопиранозида β -2.2b были получены β -O-ацетилированые гликозиды,

после очистки при помощи колоночной хроматографии выход соответствующих продуктов β-2.3a и 2.3b составил 23% и 32% (Схема 3). Селективное дезацетилирование β-D-ксилопиранозида 2.2c, имеющего похожую конфигурацию (β-гликозид и экваториальный ОАс), у которого отсутствует 6-О гидроксильная группа, привело к образованию 2-О-ацетил-β-D-ксилопиранозида 2.3c, однако со сравнительно более низким выходом (16%).

В предыдущих работах нашей группы (Stepanova E. V., et al, Carbohydr. Res. 2018, 458, 60) была выдвинута гипотеза, объясняющая увеличенную стабильность 2-О-ацетильной группы в арилглюкозидах по сравнению с другими ацетильными группами. Наличие объемного ароматического агликона приводит к увеличению стерической загруженности вокруг 2-ОАс, затрудняет как протонирование карбонильной группы, последующую атаку нуклеофила на частично положительный атом углерода, а также создает пространственное напряжение в циклических интермедиатах типа A CH(OH)OEt (Схема 4). Эта гипотеза хорошо согласуется с данными для дезацетилирования экспериментальными 1,2-транс гликозидов 2.2а-2.2с, из которых удалось получить 2-О-ацетилированные продукты 2.3а-2.3с.

Схема 4 – Механизм реакции дезацетилирования

Для изучения влияния аномерной конфигурации на селективность кислотного дезацетилирования мы провели реакцию с 1,2- μ c (α) D-глюкопиранозидом α -2.2a и обнаружили, что в этом случае вместо 2-0-ацетилированого продукта был получен 3-0-ацетилированный глюкозид α -2.3a с выходом 11% (Схема 3). По всей видимости, 1,2- μ c (α) конфигурация гликозидной связи не способствует стерической загруженности у 2-0-ацетильной группы, таким образом понижая энергию активации реакции её этанолиза. Снижение стерической нагрузки может возникать вследствие аксиально расположенного агликона, который при такой конфигурации находится вне плоскости цикла и слабо экранирует ацетильные группы.

(β) гликозидами. В этом случае более стабильной оказывается 4-*O*-ацетильная группа.

Дезацетилирование β -D-арабинопиранозида β -2.2d (Схема 3), отличающегося от α -2.2d только конфигурацией аномерного центра, не привело к получению одного продукта, вместо этого мы выделили смесь изомеров, которую невозможно было разделить.

Для дальнейшего изучения влияния конфигурации углеводной молекулы на селективность кислотно-катализируемого этанолиза, мы провели реакции дезацетилирования с 1,2-*транс* (α) гликозидами **2.2e**, **2.2g** и **2.2f** (в «манно»-конфигурации). Для этих гликозидов характерно аксиальное расположение 2-*O*-ацетильной группы и агликона. При таком расположении ацетильная и 4-метоксифенильная аномерная группы находятся по разные стороны от плоскости углеводного кольца. Мы предположили, что при такой конфигурации не будет наблюдаться селективности дезацетилирования. Действительно, как мы и предположили, реакция дезацетилирования α-D-маннопиранозида **2.2e** с аксиальной 2-*O* связью, прошла не селективно (Схема 3) с образованием двух моноацетилированных производных, которые не удалось получить в индивидуальном виде.

Аналогично, при дезацетилировании α -L-рамнопирнозида **2.2f**, также имеющего 1,2-*транс* конфигурацию и 2-O-аксиальную ацетильную группу, была получена двухкомпонентная смесь. После очистки реакционной массы мы получили 2-O-ацетилированный продукт **2.3f-2** с выходом 14% и 4-O-ацетилированый продукт **2.3f-4** с выходом 7% (Схема 3). Это согласуется с гипотезой о том, что на энергию активации этанолиза ацетильных групп влияет конфигурация аномерного центра и ее аксиальное/экваториальное расположение. По-видимому, существенной разницы в стабильности 2-O – и 4-O-ацетильной группы не наблюдается.

Отсутствие селективности было также отмечено при дезацетилировании α-D-рибопиранозида **2.2g**, имеющего аналогичную маннозе **2.2e** конфигурацию (отличие в отсутствии углерода C-6) (Схема 3). Реакция этанолиза протекала без заметной селективности, и мы не смогли выделить ни один из возможных продуктов в индивидуальном виде.

Нашим следующим шагом было исследование реакции селективного дезацетилирования перацетилированных фуранозидов **2.2h-2.2k**. К нашему огорчению, фуранозиды не проявили заметной селективности. Только при дезацетилировании α-D-арабинофуранозида **2.2h** нам удалось получить 2-*O*-ацетилированый продукт **2.3h** с выходом 12% (Схема 3). Дезацетилирование соединений **2.2i**, **2.2j** и **2.2k** не продемонстрировало заметной селективности и нам не удалось выделить никаких моноацетилированных производных (Схема 3). Реакция с метил-β-D-глюкопиранозидом **2.2m**, по-видимому, из-за небольшого агликона, который не способствует экранированию О2-Ас, прошла неселективно, выделенные нами продукты представляли собой смесь изомеров, которую не удалось разделить. Аналогично гептаацетилированный

β-D-лактозид **2.21** дал сложную смесь изомеров, что делает невозможным оценку образования моноацетилированных продуктов.

Мы сравнили предложенный нами метод кислотно-катализируемого дезацетилирования для синтеза 2-*O*-ацетилированных гликозидов с известными литературными методами (Схема 5).

Схема 5 – Сравнение методов синтеза галактозида 2.6с

При использовании нашего метода мы смогли получить 2-*O*-ацетил-β-D-галактозид **2.3b** из перацетилированного гликозида **2.2b** в одну стадию с выходом 32% (69% при регенерировании и повторном использовании исходного перацетата **2.2b**) (Схема 5). Для получения структурно похожего 2-*O*-ацетлированного галактозида в литературе был осуществлен его синтез при помощи стратегии защитных групп (7 стадий) с суммарным выходом 23%.

Далее мы бензоилировали гликозид **2.3b** при помощи BzCl в пиридине, а затем удаляли ацетильную группу с получением 4-метоксифенил 3,4,6-три-*О*-бензоил-β-D-галактопиранозида **2.6c**. Для получения этого же 3,4,6-три-*О*-бензоилированного производного **2.6c** был осуществлен его синтез из 2-*О*-левулоил галактозида **2.5c-Lev** при помощи стратегии защитных групп. Синтез был реализован за 6 стадий (Схема 5)исходя из **2.2b**, включая введение ацетилиденовой, триметилфенилсилильной левулиноильной защитных групп и их удаление и бензоилирование с суммарным выходом соединения **2.6c** 58% (Ohtsuka I. et al. *Carbohydr. res.* 2015. 404. 9).

В отличие от обычных методов, использующих защитные группы, при реакции дезацетилирования в качестве основного побочного продукта образуется полностью дезацетилированный гликозид с небольшими следами диацетилированных соединнений. Побочные продукты можно легко отделить и регенерировать до исходного перацетилированного субстрата прямым ацетилированием с уксусным ангидридом. Восстановленное исходное соединение затем может пройти еще один цикл реакции дезацетилирования, таким образом увеличивая выход целевого 2-О-ацетилированного продукта.

Для подтверждения этой концепции мы провели реакцию кислотнокатализируемого дезацетилирования полностью ацетилированного β-Dгалактопиранозида **2.2b** в масштабе 3,65 г (8 ммоль) (Схема 6).

COOPME	HCI ₃ /EtOH/HCI _{(36% водн.} 1:3:0.1 30 °C, 8 ч	он (Сон	OH O	↓OPI	_		O OF
2.2b OAc 3.65 e	Ас ₂ О Ру, г.t., 12 ч	2.3b OAc 1.8 e, 68.5%				2.4b OH	
Количество циклов		1	2	3	4	5	6
Регенерированный 2.2b, % (в пересчете на исходное соединение)		62	39	29	19	15.5	9
Выход 2.3b, % (в пересчете на исходное соединение)		29	18	10	6.5	3	2
Суммарный выход 2.3b, %		29	47	57	63.5	67	69

Схема 6 – Синтез 2.3b с регенерированием побочных продуктов

После трех последовательных циклов мы смогли получить 1,49 г (57%) целевого продукта **2.3b** и выделили 1,05 г (29%) исходного соединения **2.2b**. Такой подход значительно увеличил общий выход 2-O-ацетилированного продукта с минимальными потерями. Далее мы продлили реакции дезацетилирования — ацетилирования до шести циклов, в результате чего было получено 1,80 г (69%) целевого продукта **2.3b** и 0,32 г (9%) регенерированного исходного гликозида **2.2b**.

Так, при регенерировании побочных продуктов и повторном использовании полученных исходных гликозидов в реакции дезацетилирования мы можем значительно увеличить суммарный выход целевого 2-О-ацетилированного продукта. Кроме этого, мы также показали, что наш метод может быть масштабирован (граммовые количества) и в перспективе может применяться для решения многих синтетических задач.

Таким образом, нами были исследованы препаративные возможности метода кислотного-катализируемого дезацетилирования полностью ацетилированных гликозидов. Было показано, что на региоселективность реакции влияет конфигурация аномерного центра и размер агликона, размер цикла, а также взаимное расположение агликона и ацетильных групп. Кроме этого, мы показали, что с помощью регенерирования побочных продуктов реакции возможно получить исходные гликозиды, которые можно заново использовать в реакции дезацетилирования, что значительно увеличивает выход целевого моноацетилированного продукта и намного снижает потери материала.

2.2 Разработка метода селективного дезацетилирования углеводов в присутствии бензоатов

Методы хемоселективного дезацетилирования в основном используются в синтезе частично бензоилированных строительных блоков для олигосахаридной химии. При этом, существующие методы селективного дезацетилирования имеют некоторые ограничения в использовании.

Конфигурация углеводной молекулы и стерические препятствия, вызванные сложной структурой молекулы, могут значительно влиять на длительность реакции и выход желаемых продуктов. Предложенный нами метод для селективного дезацетилирования перацетилированных арилгликозидов под действием водной соляной кислоты был применен для хемоселективного удаления ацетильных групп в присутствии других ацильных групп.

2.2.1 Оптимизация реакционных условий дезацетилирования

В качестве модельного соединения был выбран 4-метоксифенил 6-Оацетил-2,3,4-*O*-трибензоил-β-D-галактопиранозид **2.5**a. При проведении дезацетилирования 6-О-ацетилированого селективного галактопиранозида **2.5а** в стандартных условиях (CHCl₃ – EtOH – HCl 37% водн. 1:3:0,1 v/v, 30 °C) время реакции составило 37 ч, целевой продукт **2.6a** был получен с препаративным выходом 83% (Таблица 1, строка 1).

No	Растворитель [мл] (v/v)	T [°C]	Время [ч]	Выход 2.6а [%] ^а
1	CHCl ₃ /EtOH/HCl (1:3:0,1)	30	37	83
2	CH ₂ Cl ₂ /EtOH/HCl (1:3:0,1)	30	36	80
3	ClCH ₂ CH ₂ Cl/EtOH/HCl (1:3:0,1)	30	48	84
4	CH ₂ Cl ₂ /EtOH/HCl (1,5:5,2:1)	30	8	84
5	CHCl ₃ /EtOH/HCl (1,5:5,2:1)	30	8	84
6	ClCH ₂ CH ₂ Cl/EtOH/HCl (1,5:5,2:1)	30	8	83
7	CHCl ₃ /EtOH/HCl (1,5:5,2:1)	70^{6}	0.5	87
8	ClCH ₂ CH ₂ Cl/EtOH/HCl (1,5:5,2:1)	85^{6}	0.5	80

Таблица 1. Оптимизация условий реакции дезацетилирования

Проведение реакции в CH_2Cl_2 вместо $CHCl_3$ (Таблица 1 строка 2) привело к практически идентичному результату, а замена растворителя на дихлорэтан (Таблица 1, строка 3) привела к еще большему увеличению времени реакции.

Далее, нам необходимо было ускорить реакцию, но при этом сохранить гликозидную связь и хемоселективность. Для этого мы увеличили массовую долю HCl с 1% масс. до 5% масс. (Таблица 1, строки 4-6). Также нам пришлось изменить соотношение растворителей, т. к. при добавлении большего количества водного раствора кислоты происходило образование двух несмешивающихся фаз. Оптимальным соотношением оказалось 1,5:5,2:1 v/v/v хлороыорм — этанол — HCl 37% водн. Это же соотношение было взято для и дихлорэтана. Создание гомогенной дихлорметана среды обязательным фактором для успешности реакции. Во всех случаях мы наблюдали значительное сокращение времени реакции до 8 ч с сохранением высоких выходов целевого галактопиранозида 2.6а (Таблица 1, строки 4-6).

При увеличении температуры реакции до 70 °C (температура кипения растворителей) с сохранением 5% масс. концентрации соляной кислоты удалось снизить время реакции до 30 мин, сохранив высокий выход

^а Указан препаративный выход; ^б Реакция проводилась при кипячении

дезацетилированного галактопиранозида **2.6a** (87%) (Таблица 1, строка 7). При проведении реакции дезацетилирования в дихлорэтане при 85 °C и 5% масс. концентрации соляной кислоты нам также удалось снизить время реакции до 30 мин. Однако реакция дезацетилирования прошла с неполной конверсией исходного соединения, при этом начиналось образование продукта гидролиза бензоильных групп. После колоночной хроматографии выход продукта **2.6a** составил 80% (Таблица 1, строка 8). При этом в обоих случаях, при проведении реакции дольше чем 30 мин наблюдалось удаление бензоильных групп.

Дезацетилирование исходного галактопиранозида **2.5a** в условиях кислотно-катализируемого метанолиза, предложенного Байрамовой и коллегами, в смеси AcCl — MeOH нам удалось получить целевой продут **2.6a** с выходом 80%, однако время реакции составило 14 ч (в 28 раз медленнее).

Таким образом, мы установили, что оптимальный выбор для реакции селективного дезацетилирования – реакция в смеси растворителей СНСl₃ – ЕtOH в объемном соотношении 1,5:5,2 с добавлением 5% масс. НСl при 70 °C (Таблица 1, строка 7), поскольку при этих условиях наблюдался наиболее высокий выход целевого продукта с сохранением селективности и небольшим временем реакции.

2.2.2 Возможности и ограничения метода селективного дезацетилирования углеводов в присутствии бензоильных групп

Для выяснения препаративных возможностей предложенного реагента 37% водн. HCl – CHCl₃ – EtOH, мы применили определенные нами оптимальные условия (Таблица 1, строка 7) для дезацилирования соединений 2.5а – 2.5у (Схема 7). Эти соединения содержали в своем составе различный набор ацетильных и бензоильных групп, а также различные арильные и алкильные группы в агликоне. Все реакции проводились до полной конверсии соединений. Вначале было решено провести исходных дезацетилирования для соединений, имеющих в своем составе одну ацетильную группу, но в разных положениях углеводной молекулы. Замена 4метоксифенильной группы в агликоне на 4-метилумбеллиферильную в 6-Оацетилированном галактозиде 2.5b не привела к изменению реакционной способности, а довольно мягкие условия не повлияли на сложный агликон, и продукт 2.6b был получен в течение 30 мин с выходом 95% (Схема 7). При дезацетилировании 2-O-ацетилированых β -D-галактопиранозида **2.5c**, α -Lрамнопиранозида 2.5d и β-D-ксилопиранозида 2.5e время реакции оказалось больше, и целевые продукты 2.6c, 2.6d и 2.6e были получены в течение 4 ч с сохранением хороших выходов (61% – 82%) (Схема 7). По всей видимости увеличилось, повышения время вследствие стерической загруженности вокруг ацетильной группы.

Схема 7 — Селективное дезацетилирование гликозидов в присутствии бензоильных групп. Указан препаративный выход (выход на основе ¹Н ЯМР)

Молекула рамнопиранозида **2.5d** имеет 1,2-*транс* (α) конфигурацию и 2-O-аксиальную ацетильную группу, такая конфигурация должна облегчать реакцию дезацетилирования за счет снижения стерических препятствий вокруг ацетильной группы. Тем не менее, мы получили целевой рамнопиранозид **2.6d** в течение 4 ч с выходом 72%, что сопоставимо с

временем реакции для галактопиранозида **2.5c** с 1,2-*транс* (β) конфигурацией. То есть, «удачное» расположение ацетильной группы не привело к выигрышу во времени.

Мы предположили, что на скорость реакции дезацетилирования может также влиять наличие соседней объемной бензоильной группы, а также ее экваториальное или аксиальное расположение. Мы увидели подтверждение этой гипотезы на примере 4-O-ацетил- β -D-глюкопиранозида **2.5f** и 3-Oацетил-β-D-глюкопиранозида 2.5g. Оба этих соединения экваториальное расположение соседних ацетильной и бензоильной групп, что приводит к увеличению стабильности ацетильной группы и, как следствие, увеличению времени реакции. Так, реакция дезацетилирования соединений 2.5f и 2.5g была проведена в течение 4 ч, выход целевых продуктов **2.6f** и **2.6g** составил 70% и 60%, соответственно (Схема 7).

Если же соседняя бензоильная группа находится в аксиальном положении, то стерическая напряженность вокруг экваториальной ацетильной группы снижается, что приводит к незначительному уменьшению времени реакции. Так, при дезацетилировании 3-*O*-ацетилгалактопиранозида **2.5h**, целевой продукт **2.6h** был получен в течение 3 ч с выходом 72% (Схема 7).

При дезацетилировании 2,6-ди-*O*-ацетилированнах галактозидов **2.6i** и **2.6j** с β-1,2-*транс* конфигурацией, целевые продукты **2.6i** и **2.6j** были получены за 4 ч с выходами после колоночной хроматографии 71% и 65%, соответственно (Схема 7). Дезацетилирование 2,6-ди-*O*-ацетил-α-D-маннозида **2.5k** с α-1,2-*транс* конфигурацией прошло в течение 2,5 ч с количественным выходом диола **2.6k**, который не требовал очистки. При дезацетилировании 2,6-ди-*O*-ацетил-α-D-метилглюкозида **2.5l** с 1,2-*цис* (α) конфигурацией, реакция прошла за 1,5 ч с количественным выходом соединения **2.6l**, не требуя дополнительной очистки.

Далее нами были проведены реакции дезацетилирования 3,4-ди-*О*-ацетилированных гликозидов **2.5m** и **2.5n** (Схема 7). Для β-D-галактопиранозида **2.5m** реакция дезацетилирования прошла в течение 4 ч с выходом целевого продукта **2.6m** 65%. В случае дезацетилирования α-D-маннопиранозида **2.5n** реакция прошла несколько быстрее. Так, диол **2.6n** был получен в течение 2,5 ч с выходом 65%.

После этого мы провели реакции дезацетилирования для 4,6-ди-O-ацетилированных соединений маннозы (2.50 и 2.5p), талозы (2.5q) и глюкозы (2.5r). Для этих соединений время реакции составило 1-2,5 ч. Целевые продукты 2.60, 2.6p и 2.6r были получены с выходами >90% и не требовали дополнительной очистки, за исключением таллозида 2.6q, выход которого составил 60% после колоночной хроматографии. Как и в случае S-этил гликозида 2.5g, мы не наблюдали продуктов разложения гликозидной связи при дезацетилировании S-фенил гликозида 2.5r (Схема 7).

Мы также показали возможность удаления ацетильных групп в присутствии пивалоильных. Так, реакция дезацетилирования 4,6-ди-*O*-ацетил-

2,3-ди-*О*-пивалоил-β-D-глюкопиранозида **2.5**s прошла в течение 1 ч с количественным выходом желаемого продукта **2.6**s. Таким образом, предложенный нами метод может служить также и селективным способом удаления ацетильных групп с сохранением пивалоильных.

Реакция дезацетилирования 4,6-ди-*О*-ацетилированного производного лактозы **2.5t** прошла за 9 ч с выходом целевого продукта **2.6t** 60%. Однако, при дезацетилировании 4-*О*-ацетилированного производного лактозы **2.5u** реакцию пришлось остановить после 20 ч, ввиду накопления в реакционной смеси продуктов удаления бензоильных групп, при этом полной конверсии исходного соединения не было достигнуто. Выход целевого продукта **2.6u** составил 20%. При этом, мы также наблюдали, что при увеличении времени реакции происходит удаление бензоильных групп.

Также мы испытали систему 37% водн. HCl — CHCl₃ — ЕtOH для селективного удаления других ацильных групп, таких как хлорацетильные и пивалоильные. Несмотря на то, что методы удаления хлорацетильных групп хорошо известны, мы показали, что это возможно и в наших условиях. Так, реакция дезацилирования 4,6-ди-О-хлорацетил глюкопиранозида 2.5v завершилась в течение 1 ч с количественным выходом диола 2.6v. В случае дезацилирования 6-О-пивалоил галактопиранозида 2.5w мы остановили реакцию спустя 19 ч ввиду накопления в реакционной смеси продуктов этанолиза бензоильных групп. Выход целевого продукта 2.6a составил 45% (Схема 7). По всей видимости, значительное увеличение времени реакции для удаления пивалоильной группы также обусловлено стерическими факторами.

Для дальнейшего развития идеи селективного удаления сложноэфирных групп мы решили получить соединение, которое будет содержать в своем составе хлороацетильную, ацетильную, бензоильную и пивалоильную группы, и провести его дезацетилирование. Синтез соединения **2.11** состоял из 5 стадий с суммарным выходом целевого продукта в 38% (Схема 8).

Схема 8 – Синтез соединения 2.11, содержащего четыре разные ацильные группы

Реакцию дезацетилирования соединения **2.11** с использованием предложенного нами мягкого реагента с 37% водн. HCl проводили в течение 3 ч, после чего выделяли продукты реакции и проводили их очистку при помощи колоночной хроматографии. К нашему удивлению, одним из выделенных

соединений был продукт удаления 2-О ацетильной группы **2.12** с выходом 49%, при этом хлороацетильная группа оставалась в О-4 положении углевода (Схема 9).

Схема 9 – Реакция дезацетилирования соединения 2.11

Вторым выделенным соединением был ожидаемый продукт этанолиза как 2-O ацетильной, так и 4-O-хлороацетильной групп **2.13**. Выход соединения 2.13 составил 27%. Изначально, МЫ предполагали, кислотолабильная O-CA группа будет удаляться раньше, чем O-Ac. Однако экспериментальные данные подтверждают, что удаление ацетильной группы происходит быстрее. Такой результат можно обосновать тем, что 4-О хлороацетильная группа имеет немного более высокую стабильность, чем 2-О ацетильная. Это вполне согласуется с работой (Nasibulin R. T., et al. Chem. Phys. Lett. 2019, 123), где расчеты энергий активации каждой ацетильной группы показывают, что при наличии 6-О-Ас группы энергия активации 4-О-Ас группы немного выше, чем 2-О-Ас группы. Если переносить эту аналогию на наш пример, то наличие намного более стабильной 6-О пивалоильной группы могло сыграть аналогичную роль в увеличении стабильности 4-О-хлороацетильной группы.

Одним из преимуществ нашего метода является возможность его масштабирования. Для этого мы провели реакцию дезацетилирования модельного 6-*O*-ацетилированного соединения **2.5a** в масштабе 1 г (1,5 ммоль). В результате такого синтеза нами было получено 0,89 г целевого продукта **2.6a** с количественным выходом (Схема 7).

разработанного Синтетические ограничения нами метода показаны при дезацетилировании 6-О-трет-бутилдиметилсилил-2,3,4-три-Оацетил-α-D-метилгликозида 2.5x6-*O*-бензоил-2,3,4-три-*O*-ацетил И галактопиранозида 2.5у. В первом случае, кислотолабильная силильная группа в субстрате 2.5х удалялась вместе с ацетильными защитными привело образованию К полностью незащищенного метилгликозида 2.6х с количественным выходом (Схема 10).

Схема 10 – Ограничения реакции дезацетилирования

В данном случае можно рассматривать такую реакционную способность не как ограничение, а как преимущество. Дело в том, что защитные силильные группы чаще всего селективно удаляются при помощи ТВАF, от которого после реакции довольно сложно избавиться. В нашем случае силильная группа легко удаляется в мягких условиях, не требуя очистки от побочных продуктов и реагентов.

При дезацетилировании соединения **2.5**у реакция завершилась в течение 1 ч, однако, к нашему удивлению, мы не наблюдали образование целевого 6-О-бензоилированного продукта **2.6**у-1. На ЯМР ¹Н спектре полученного продукта отсутствовали сигналы, характерные для 4-метоксифенильной группы, что говорит о расщеплении гликозидной связи (Схема 10).

При этом мы не наблюдали подобных превращений для других соединений с 4-метоксифенолом в качестве агликона. Мы предположили, что желаемый продукт 2.6y-1 образуется в ходе реакции, однако из-за повышенной лабильности гликозидной связи в этих условиях его выделение затруднено. Для минимально защищенного гликозида 2.6y-1, разрыв гликозидной связи может происходить вследствие лучшей стабилизации вероятного интермедиата — оксокарбениевого (гликозильного) катиона, в то время как для частично защищенных продуктов (например, 2.6a, 2.6b, 2.6c) гликозильный катион дестабилизировался бы электроноакцепторными эндоциклическими акцепторными группами и поэтому его образование непредпочтительно.

На основании предыдущих работ и используемых реакционных условий мы предположили обоснование селективности дезацетилирования (Схема 11). Реакция дезацетилирования является нуклеофильным замещением и может описываться по механизму $A_{AC}2$, реализующемуся через этанолиз или (в меньшей степени) гидролиз, либо как смесь обоих этих вариантов. При этом, общее равновесие реакции смещенно в сторону образования спиртового продукта из-за большого избытка этанола и воды, используемых в качестве растворителей. Между тем, хемоселективность реакции определяется в стерическими, а не электронными факторами. Небольшая основном ацетильная группа оказывает меньшие стерические препятствия для протонирования карбонильной группы и последующей атаки нуклеофила по частично положительному атому углерода. Более объемная бензоильная группа повышает стерическую загруженность вокруг карбонильной группы за счет наличия фенильного кольца, что делает ее менее предпочтительной для атаки молекулы этанола. Таким образом, хемоселективность-определяющая стадия (нуклеофильная атака) приходится на менее стерически напряженную ацетильную группу, что полностью согласуется с экспериментальными данными.

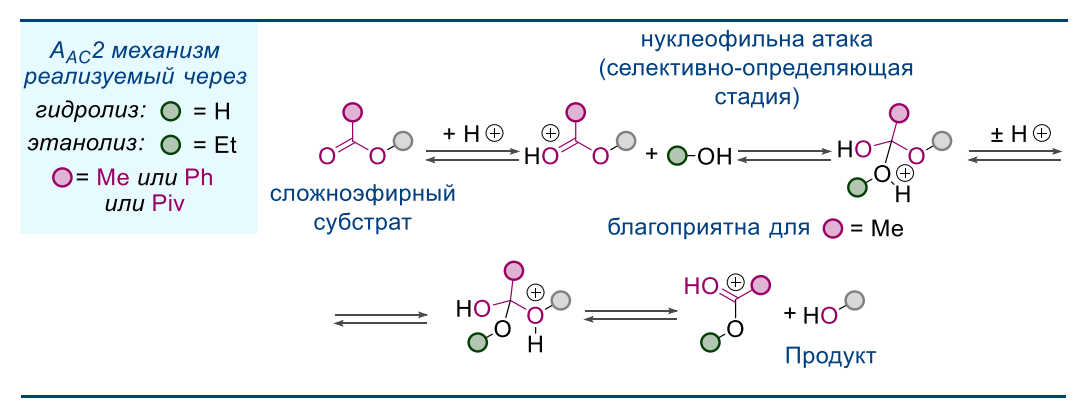


Схема 11 – Механизм реакции дезацетилирования

При разработке кислотно-катализируемых методов дезацетилирования одной из главных задач является сохранение гликозидной связи, т.к. известно, что расщепление гликозидной связи происходит в кислых условиях, зачастую с использованием повышенных температур. Экспериментально нами было показано, что реагент 37% водн. HCl – CHCl₃ – EtOH за счет своих мягких условий хорошо подходит для селективного дезацетилирования гликозидов, в состав которых входят разные агликоны (исключением является 2.5у). Так, нами не было замечено продуктов расщепления гликозидной связи в углеводах, содержащих О-арильные (4-метоксифенил, 4-метиллумбелиферил, 4(3-хлопропокси)фенил и др.) и О-алкильные (метил, 2-хлорэтил) группы. Кроме этого, на примере соединений 2.6g и 26r было показано, что наши обладают высокой реакционные условия толерантностью кислотолабильным S-алкил и S-фенил гликозидным связям. Кроме того, хлори азидоалкильные агликоны (пре-спейсерные агликоны) также оказались стабильными в предложенных условиях.

Таким образом, нами был разработан универсальный метод для селективного удаления ацетильных групп в присутствии бензоильных. Было показано, что скорость дезацетилирования во многом зависит от конфигурации углеводной молекулы и взаимного расположения ацетильных групп к агликону и бензоильным группам. Кроме этого, мы показали, что наш метод обладает высокой толерантностью к *О*- и *S*-гликозидной связи и его возможно использовать для селективного удаления других ацильных групп. Структуры всех полученных соединений были подтверждены при помощи физико-химических методов анализа и совпадают с литературными данными для ранее известных соединений.

Выводы

1. Показано, что конфигурация углеводной молекулы влияет на реакционную способность ацетильных групп в условиях кислотного этанолиза. В частности, 2-*O*-ацетильные группы в арилгликопиранозидах с β-1,2-*транс*-конфигурацией проявляют повышенную стабильность. При изменении конфигурации на α-1,2-*цис* реакционная способность ацетильных групп изменяется, с предпочтительной стабилизацией 3-*O*- или 4-*O*-ацетильной группы. При замене арилгликозидного агликона на алкильный, а

также при переходе к фуранозидам, реакционная способность ацетильных групп выравнивается и получить моноацетилированный продукт не удается.

- 2. Продемонстрирована возможность масштабирования и регенерирования побочных продуктов региоселективного дезацетилирования перацетилированных гликозидов, позволяющая существенно увеличить выход моноацетилированного продукта.
- 3. Показано, что предложенный нами метод региоселективного удаления ацетильных групп из перацетилированных сахаров позволяет получать известные продукты в гораздо меньшее количество стадий. Так, 2-*O*-ацетил-β-D-галактопиранозид был получен в одну стадию с выходом 32%, в то время как метод с использованием стратегии защитных групп включает 7 стадий с суммарным выходом 2-*O*-ацетил галактозида 23%.
- 4. Показано, что предложенный метод селективного удаления ацетильных групп из перацетилированных углеводов применим для различных углеводов, и с помощью него впервые были синтезированы ранее недоступные моноацетилированные углеводы: 4-метоксифенил-3-*O*-ацетил-α-D-глюкопиранозид, 4-метоксифенил-2-*O*-ацетил-β-D-ксилопиранозид, 4-метоксифенил-4-*O*-ацетил-α-D-арабинопиранозид, 4-метоксифенил-2-*O*-ацетил-β-L-рибопиранозид и 4-метоксифенил-2-*O*-ацетил-α-D-арабинофуранозид.
- 5. Предложен новый эффективный метод хемоселективного удаления ацетильных групп в присутствии бензоильных, основанный на использовании реагента 37% HCl/CHCl₃/EtOH и показана его масштабируемость без изменения реакционной способности. Этот метод позволяет получать частично бензоилированные гликозиды различной конфигурации, включая соединения с кислото-лабильными группами в агликоне.
- 6. Предложен метод кислотно-катализируемого удаления сложноэфирных групп: хлорацетильных, пивалоильных, а также силильных защитных групп.

Список трудов

- 1. **Abramov A. A.,** Zinin, A.I., Kolotyrkina, N. G., Kononov, L. O., Shatskiy, A., Kärkäs, M. D., Stepanova, E. V. Mild and General Protocol for Selective Deacetylation of Acetyl/Benzoyl-Protected Carbohydrates // *J. Org. Chem.* **2024**. Vol. 89, № 14. P. 10021–10026.
- 2. **Abramov A. A.,** Fefelova A.G., Shatskiy, A., Kärkäs, M. D., Stepanova, E. V. Regioselective Deacetylation of Peracetylated Glycosides with a Cleavable Aglycone // *Carbohydr. Res.* **2025**. Vol. 556. P 109626
- 3. **Абрамов А. А.** Селективное дезацетилирование арилгликозидов [материалы конференции, электронный ресурс] / Абрамов А. А., Степанова Е В. // Фундаментальная гликобиология: сборник тезисов V Всероссийской конференции, Гатчина, 21-24 сентября 2021. Москва: Курчатовский институт, 2021 С. 31-32

- 4. **Абрамов А. А.** Новый метод селективного удаления ацетильных групп в присутствии бензоатов [материалы конференции, электронный ресурс] / Абрамов А. А., Зинин А. И., Кононов Л. О., Степанова Е. В. // Фундаментальная гликобиология: сборник тезисов VI Всероссийской конференции, Мурманск, 11-15 сентября 2023. Мурманск: Мурманский арктический университет, 2023 С. 57
- 5. **Abramov. A. A.** New look at acidic ethanolysis of acetyl groups in carbohydrates [материалы конференции, электро нный ресурс] / Abramov A. A., Kononov L. O., Stepanova E. V. // 31st International Carbohydrate Symposium, Shanghai, 14-19 July 2024. Shanghai: Shanghai Institute of Organic Chemistry, 2024 S. 287

Благодарности

Автор выражает искреннею благодарность научному руководителю к.х.н., заведующей ЛХИМД Степановой Е. В. (ИШХБМТ ТПУ) за всестороннюю помощь при подготовке диссертационной работы и внимание к научной работе. Автор также благодарит д.х.н. Кононова Л. О. (ИОХ РАН) за возможность выполнения части диссертационной работы в Институте органической химии им. Н. Д. Зелинского и активное обсуждение результатов работы. Отдельную благодарность автор выражает Фефеловой А. Г. (ИШХБМТ ТПУ) за ценные рекомендации и помощь при выполнении отдельных синтетических процедур.